

1/27

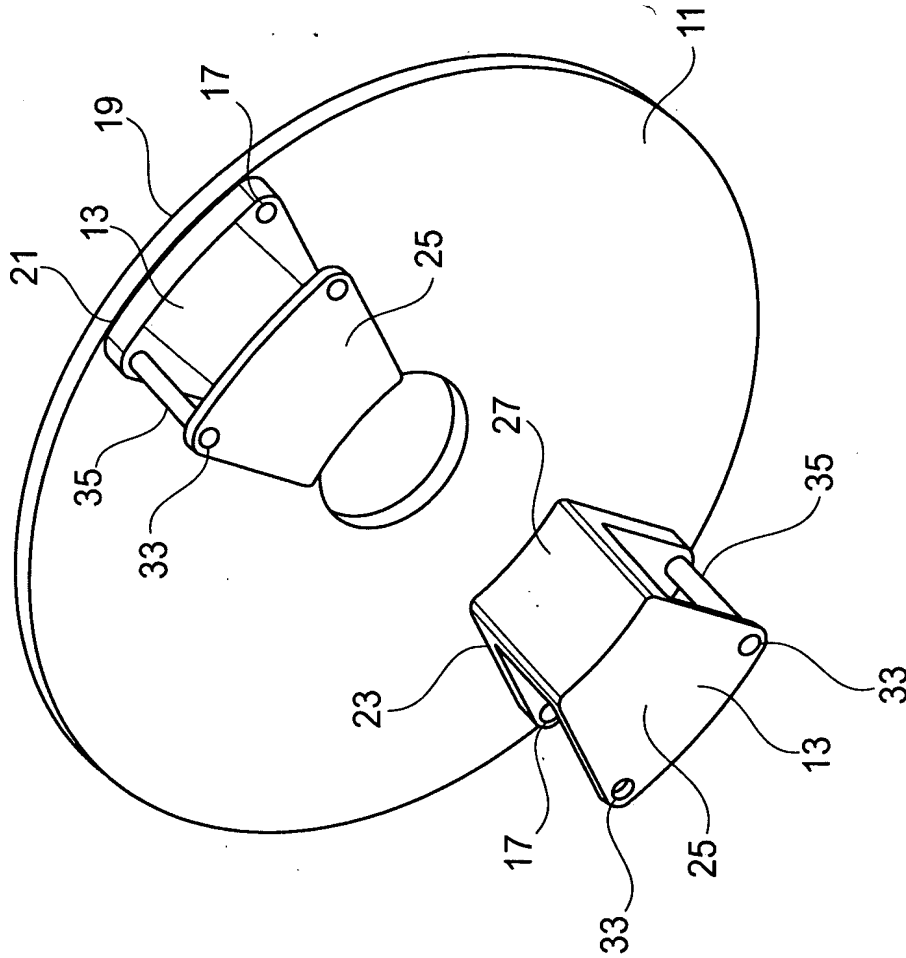


Fig. 1

2/27

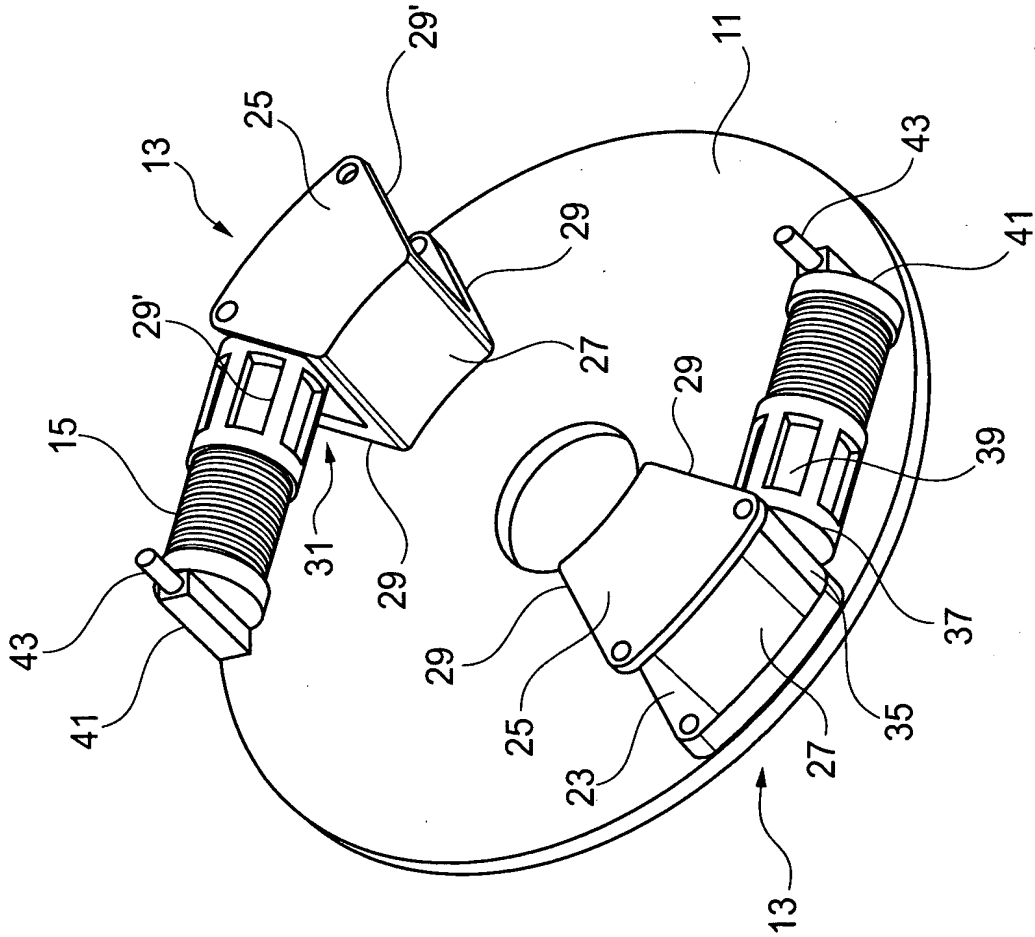


Fig. 2

3/27

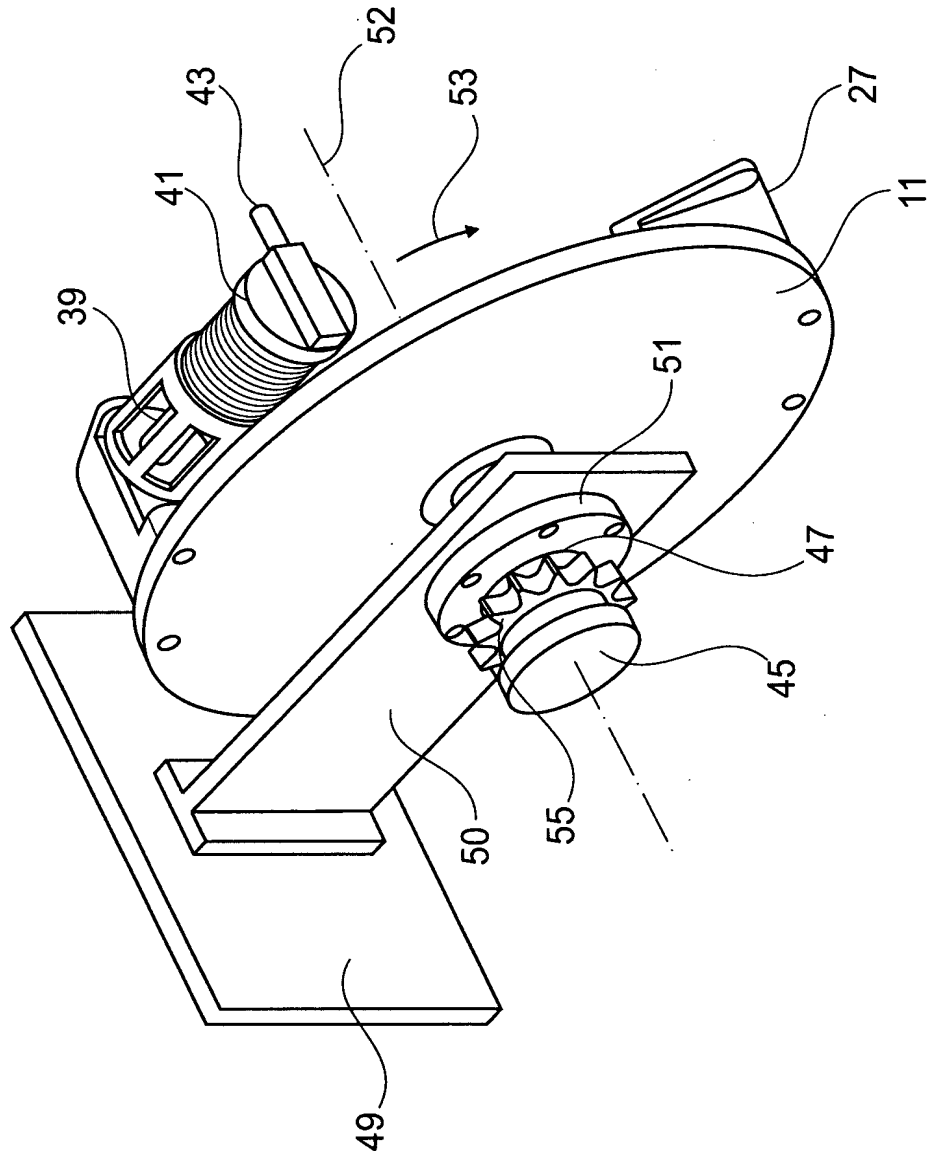


Fig. 3

4/27

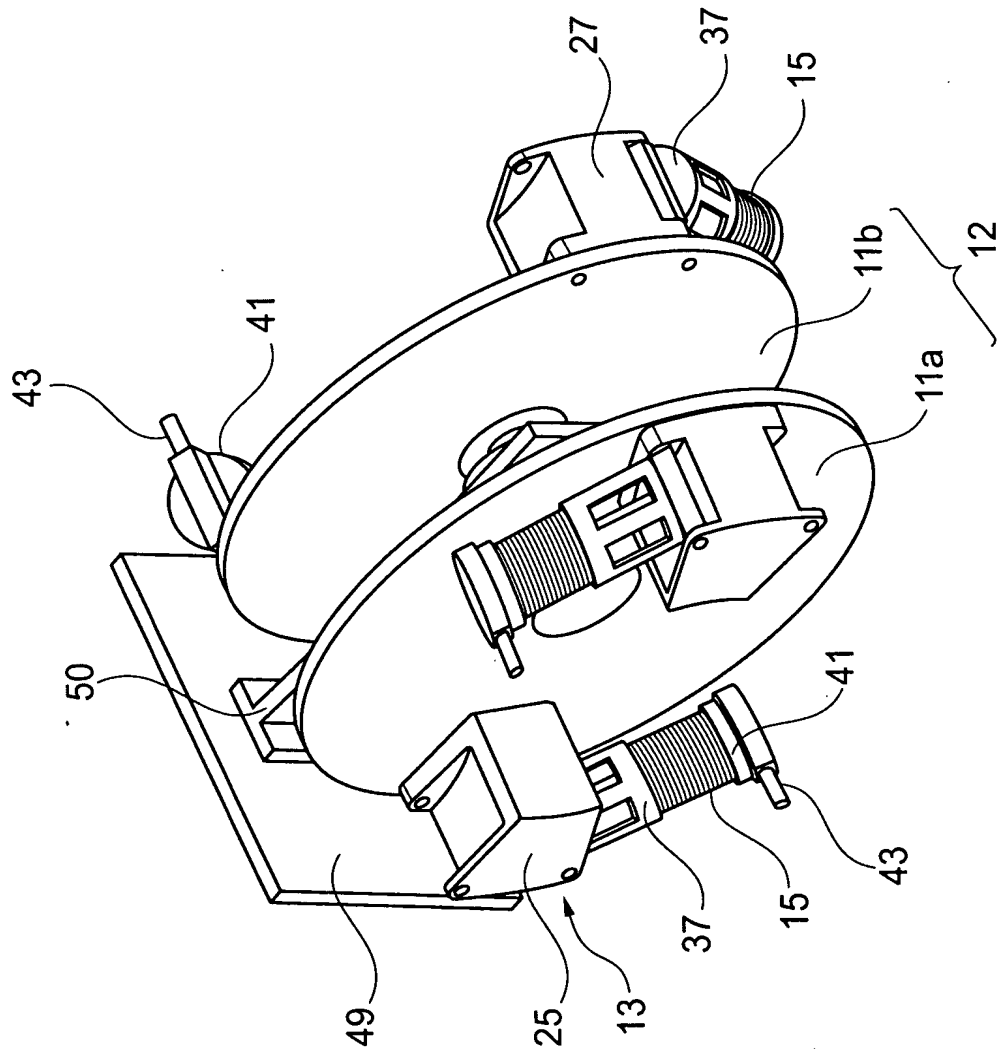


Fig. 4

5/27

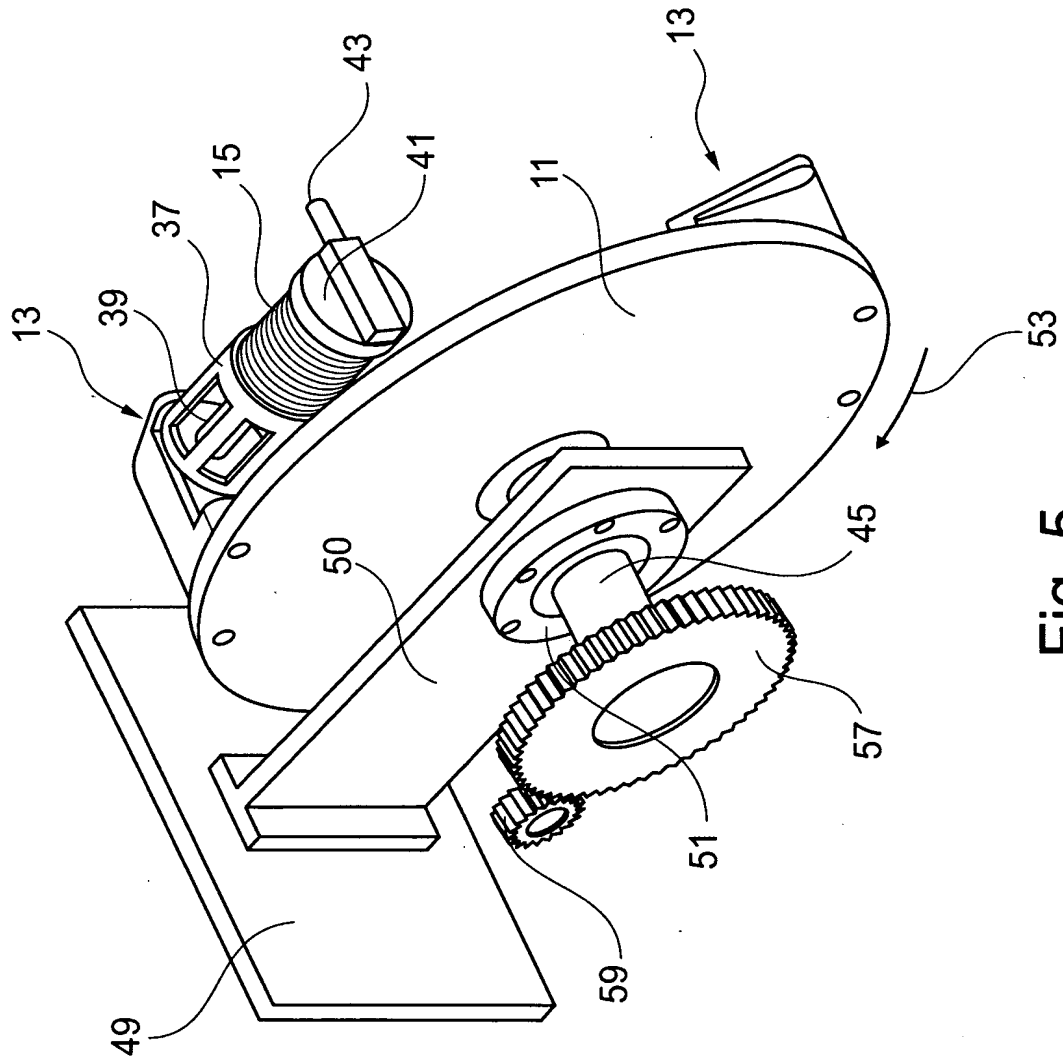


Fig. 5

6/27

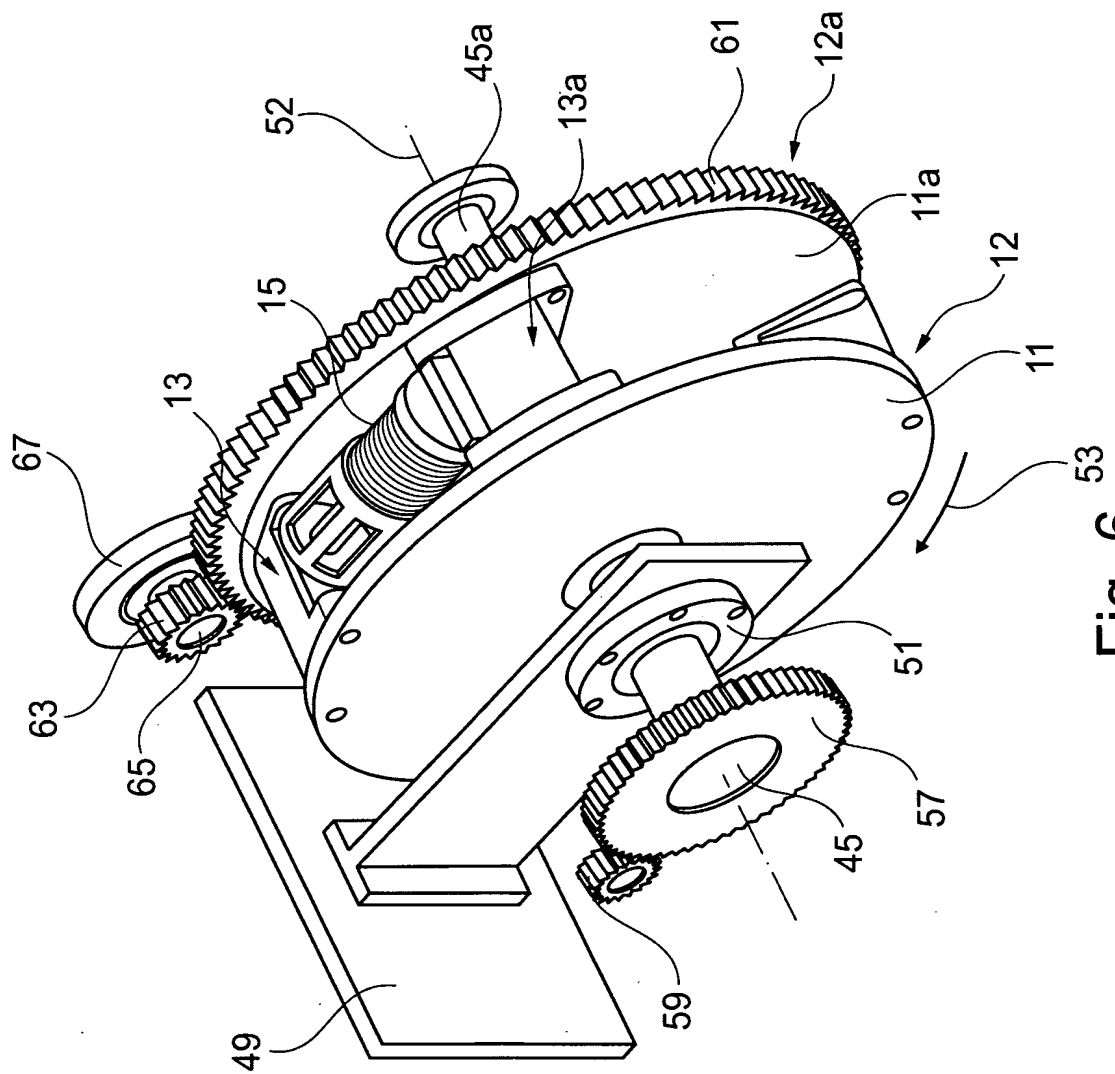


Fig. 6 53

7/27

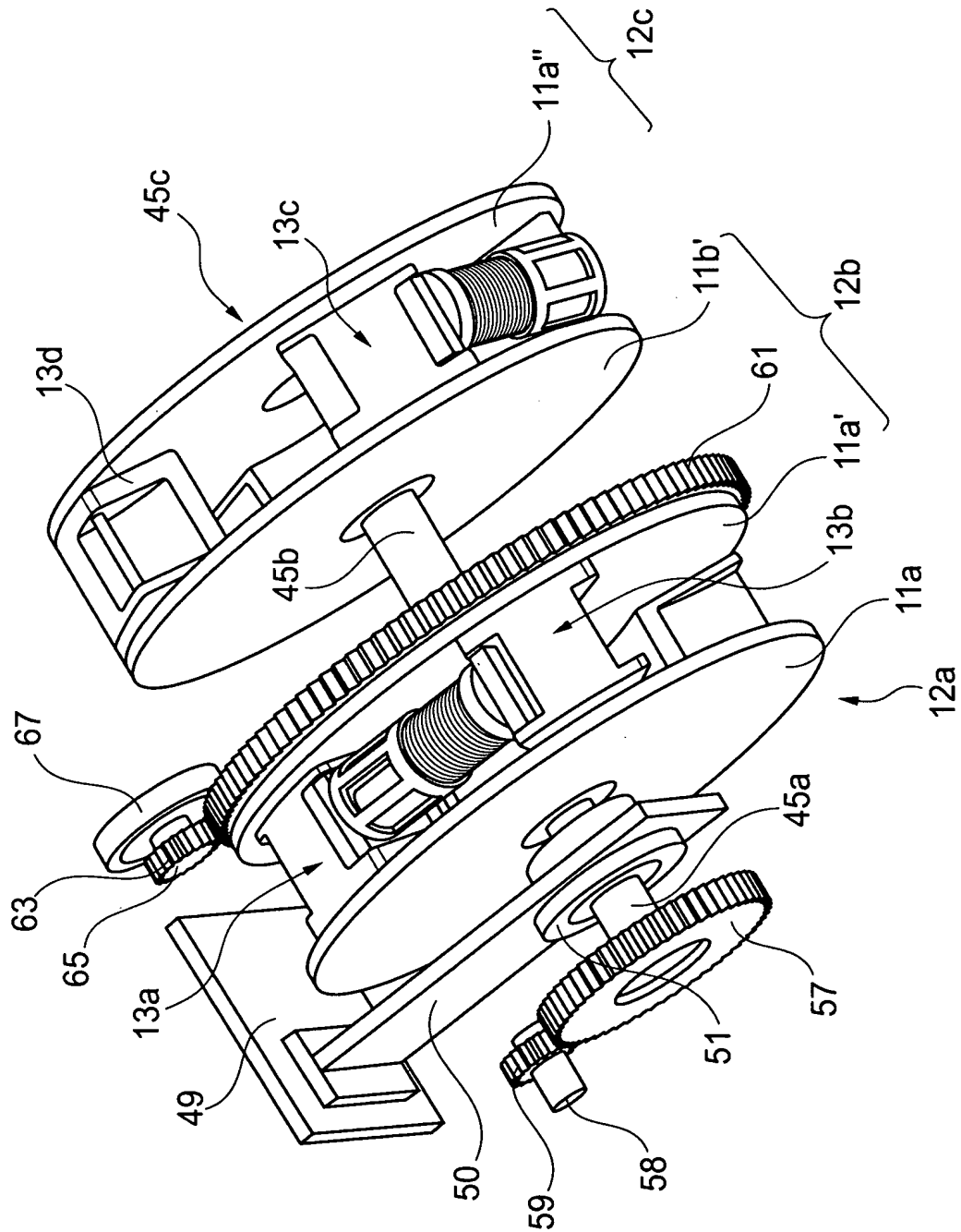


Fig. 7

8/27

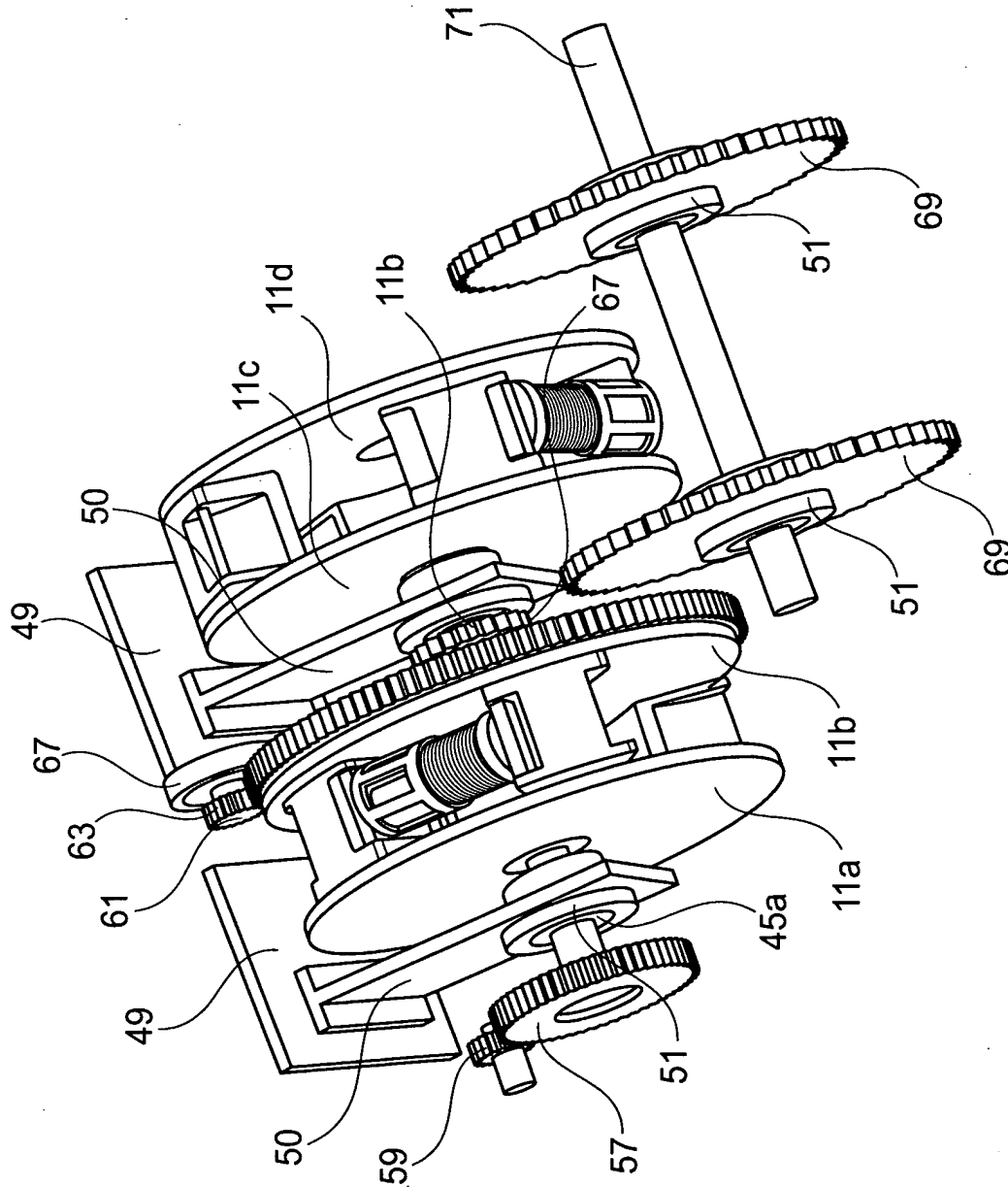


Fig. 8



9/27

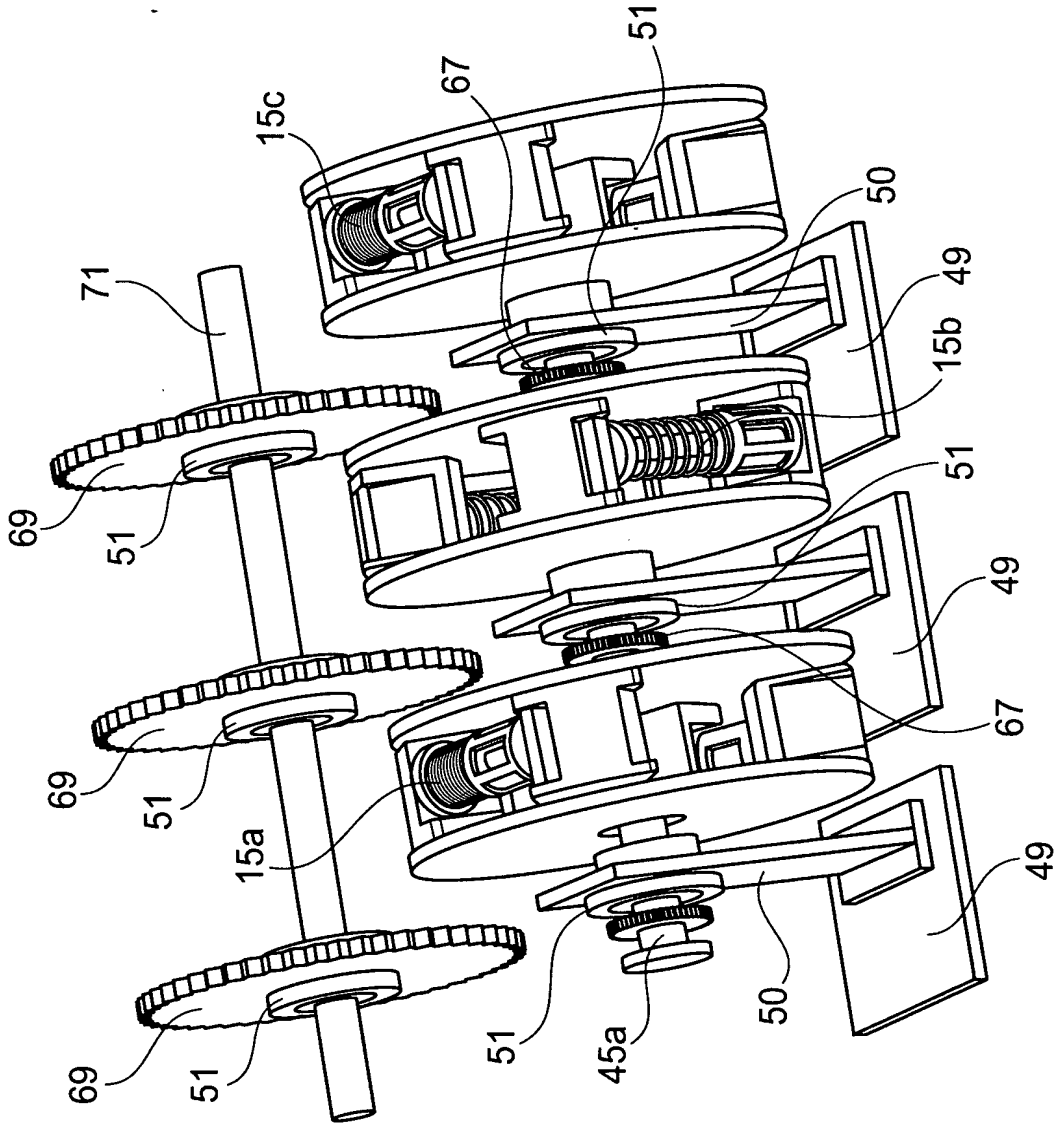


Fig. 9

10/27

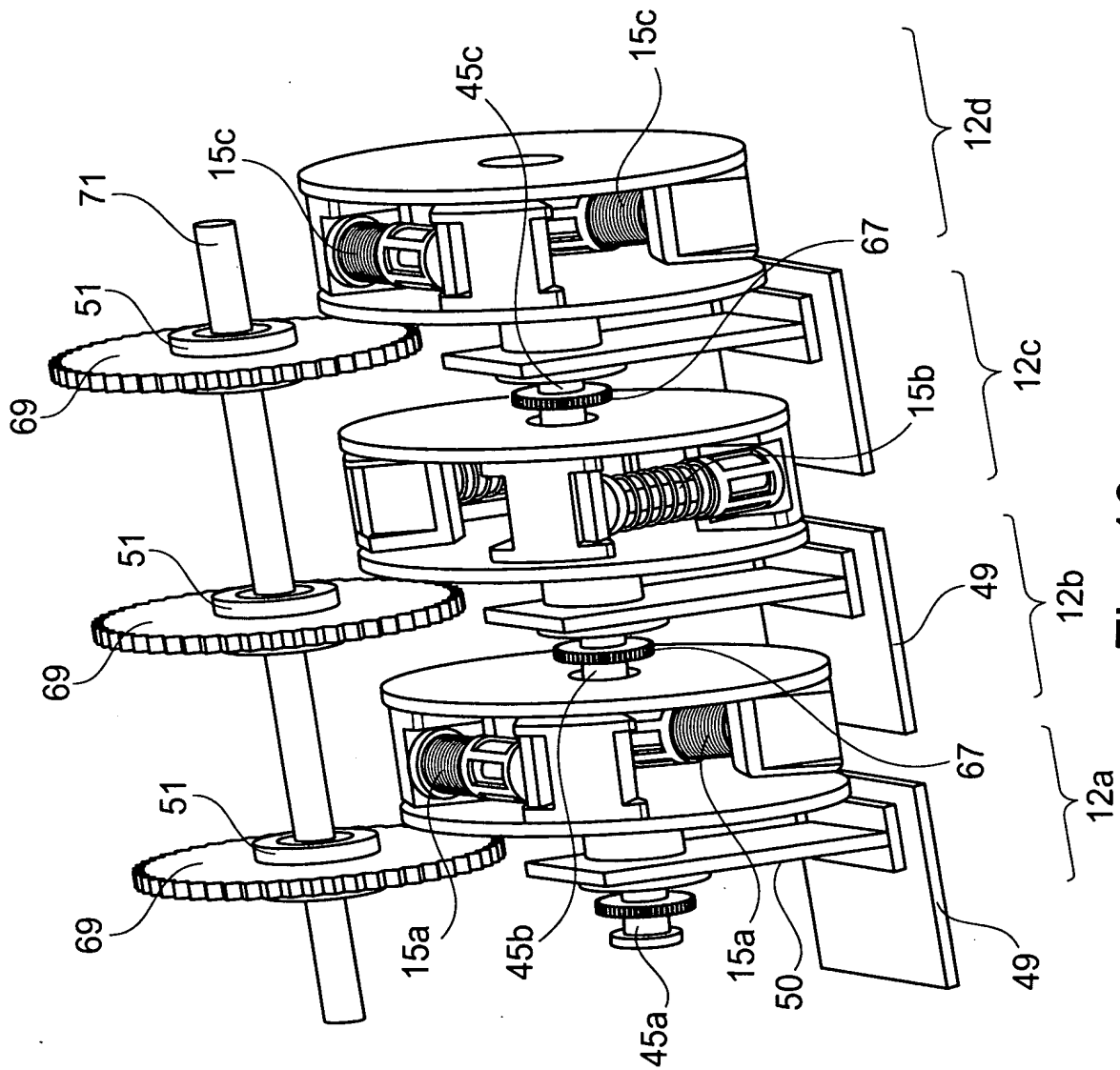


Fig. 10

11/27

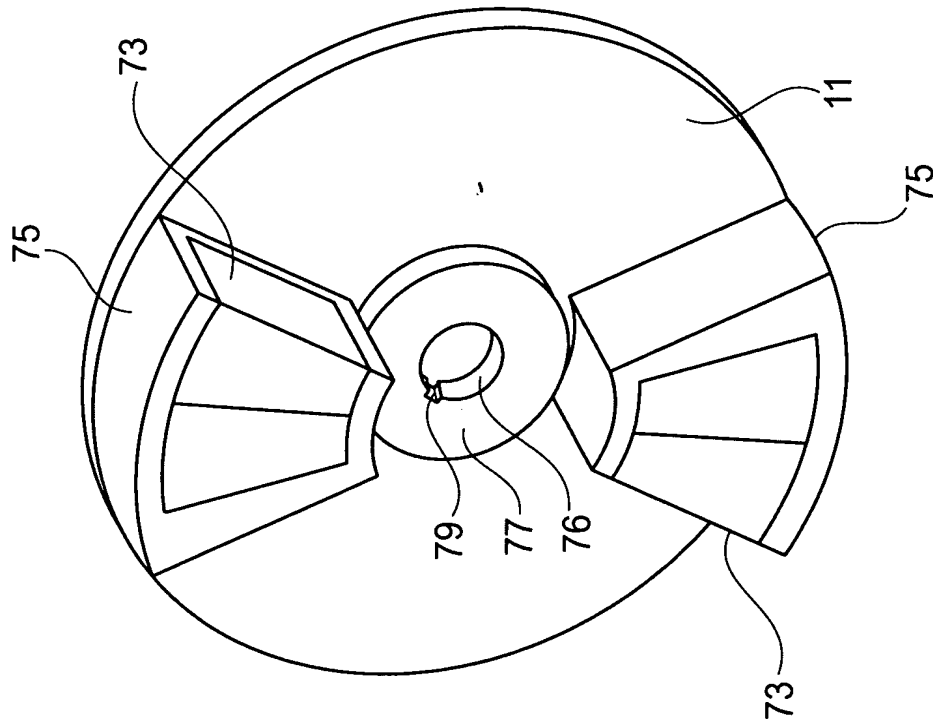


Fig. 11

12/27

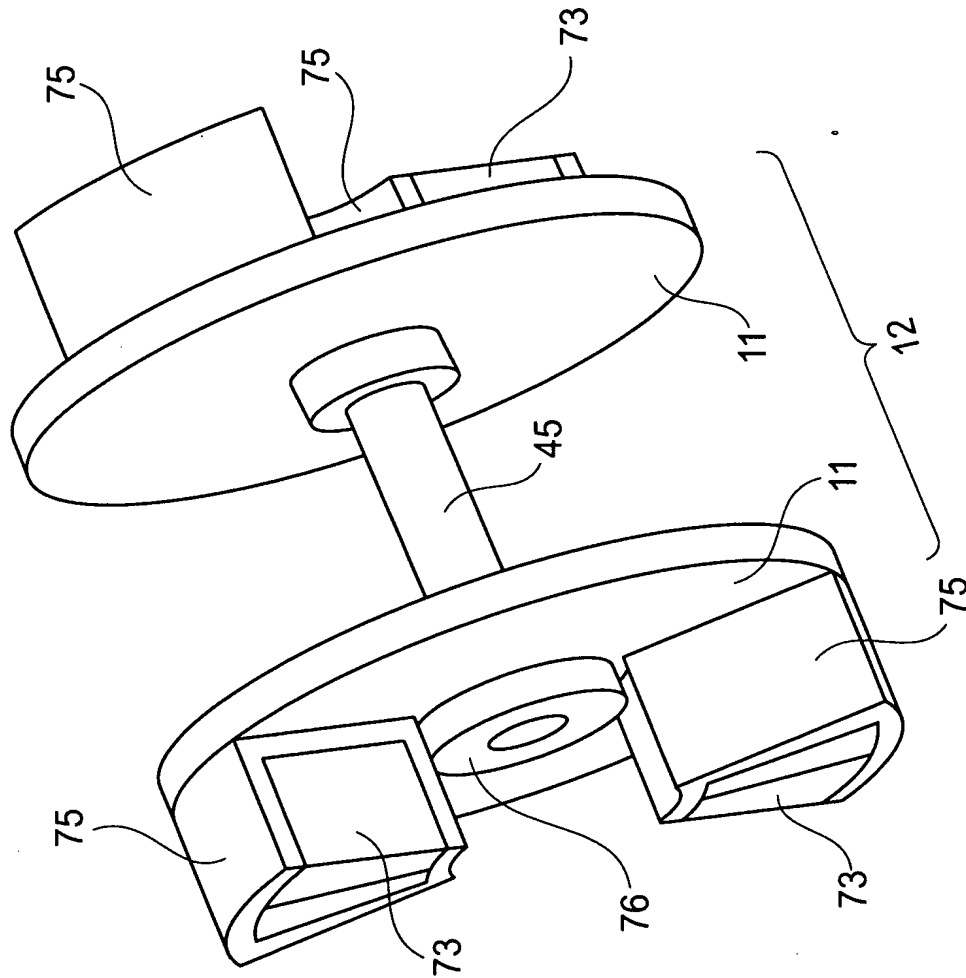


Fig. 12

13/27

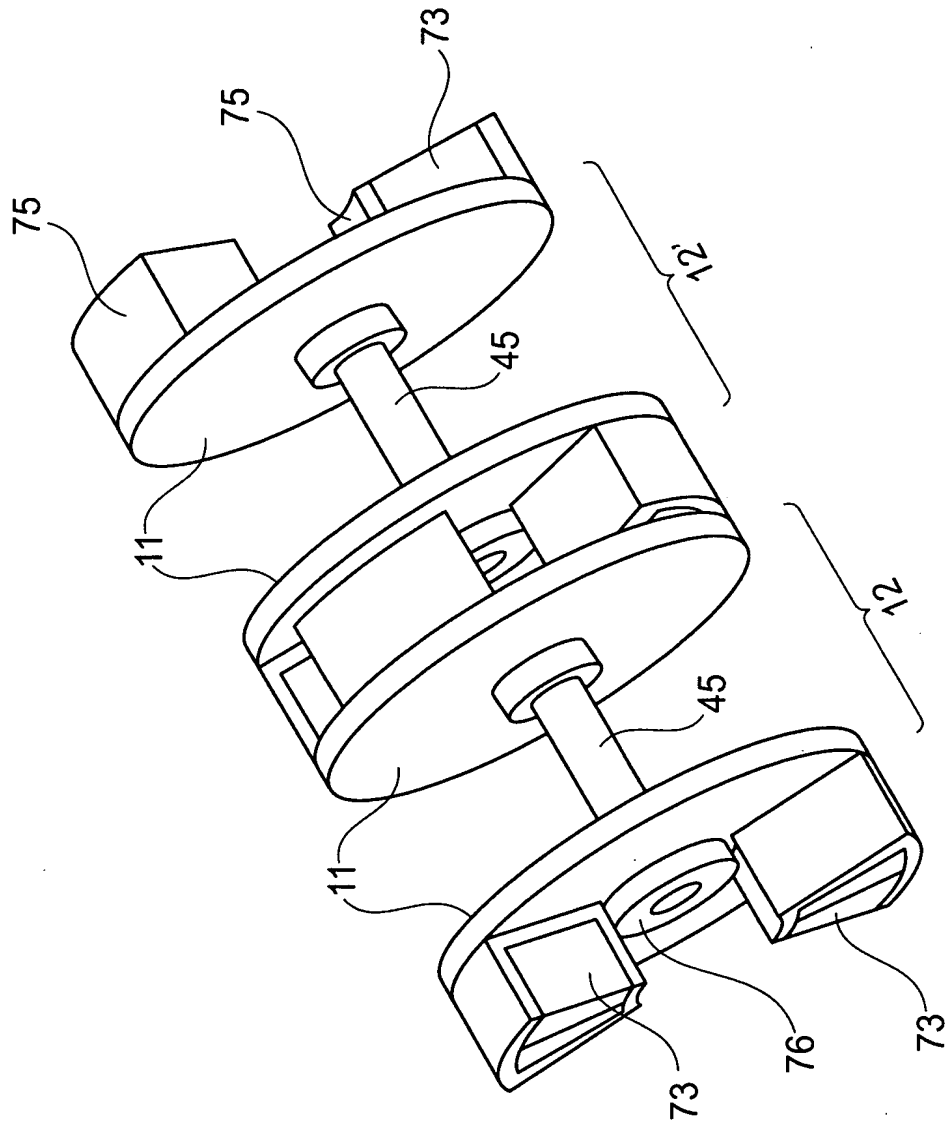


Fig. 13

14/27

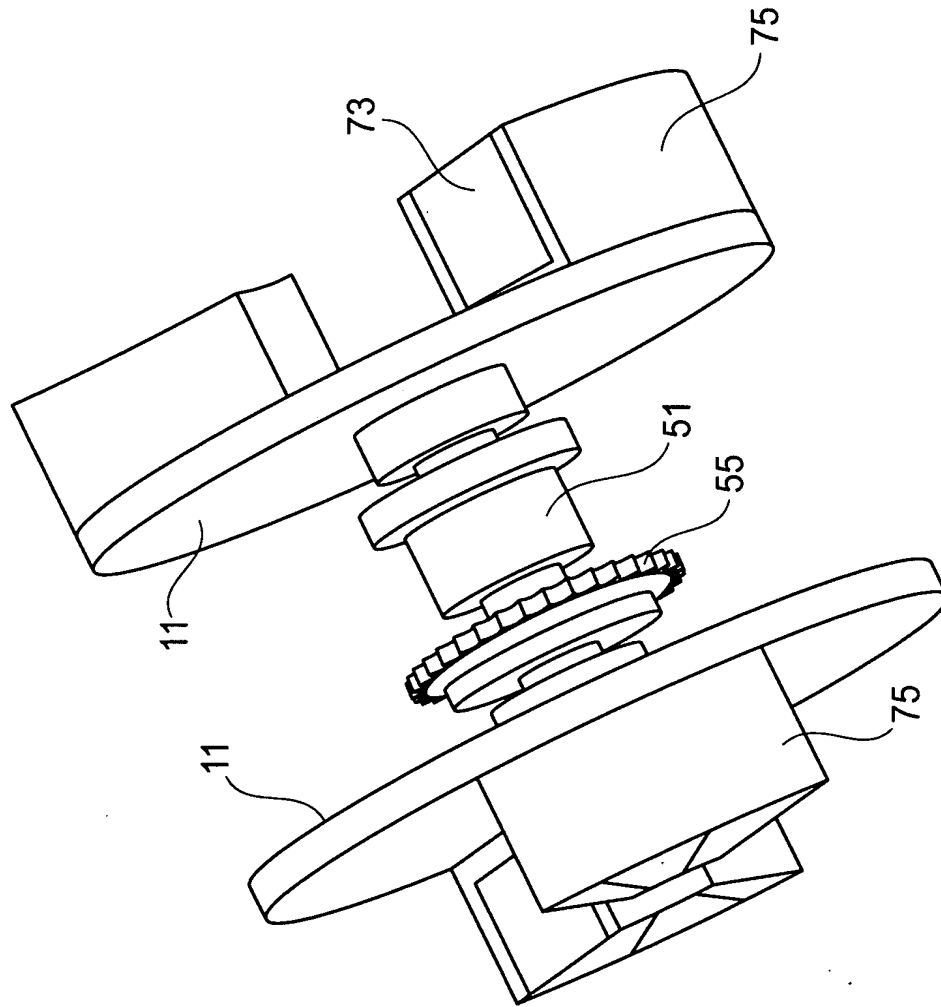


Fig. 14

15/27

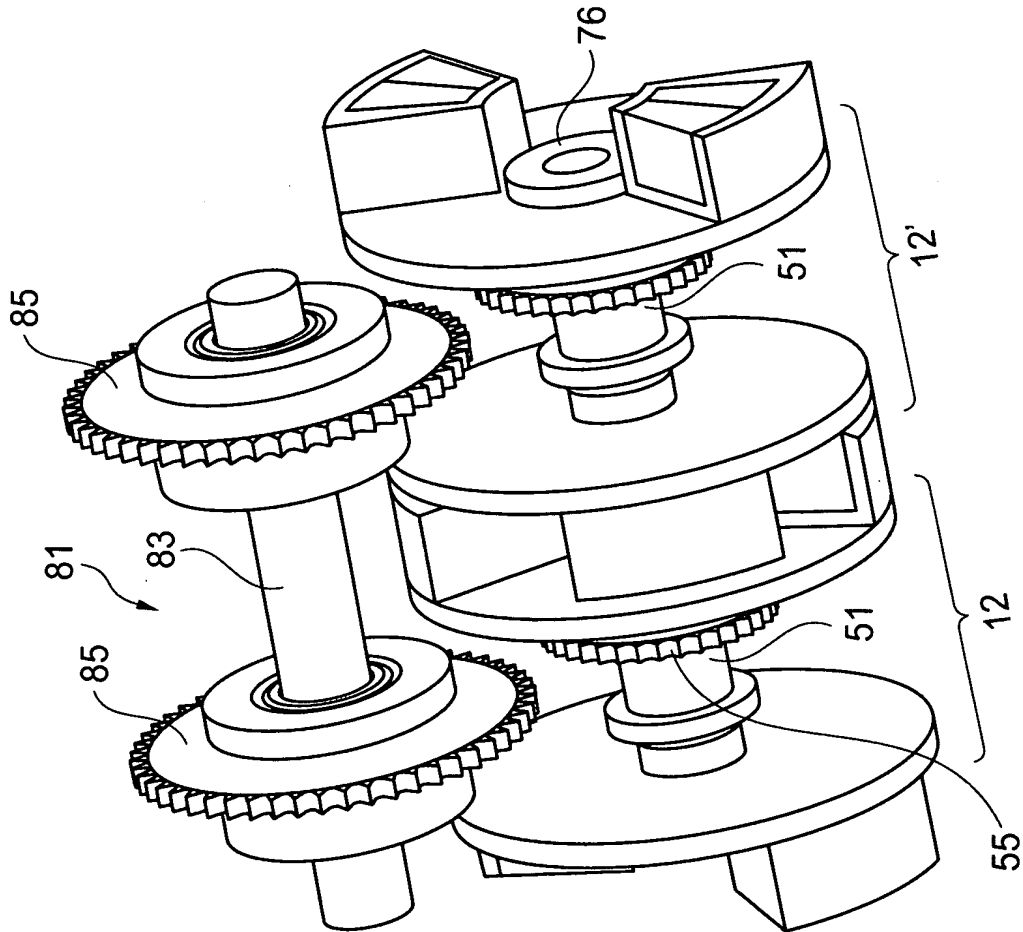


Fig. 15

16/27

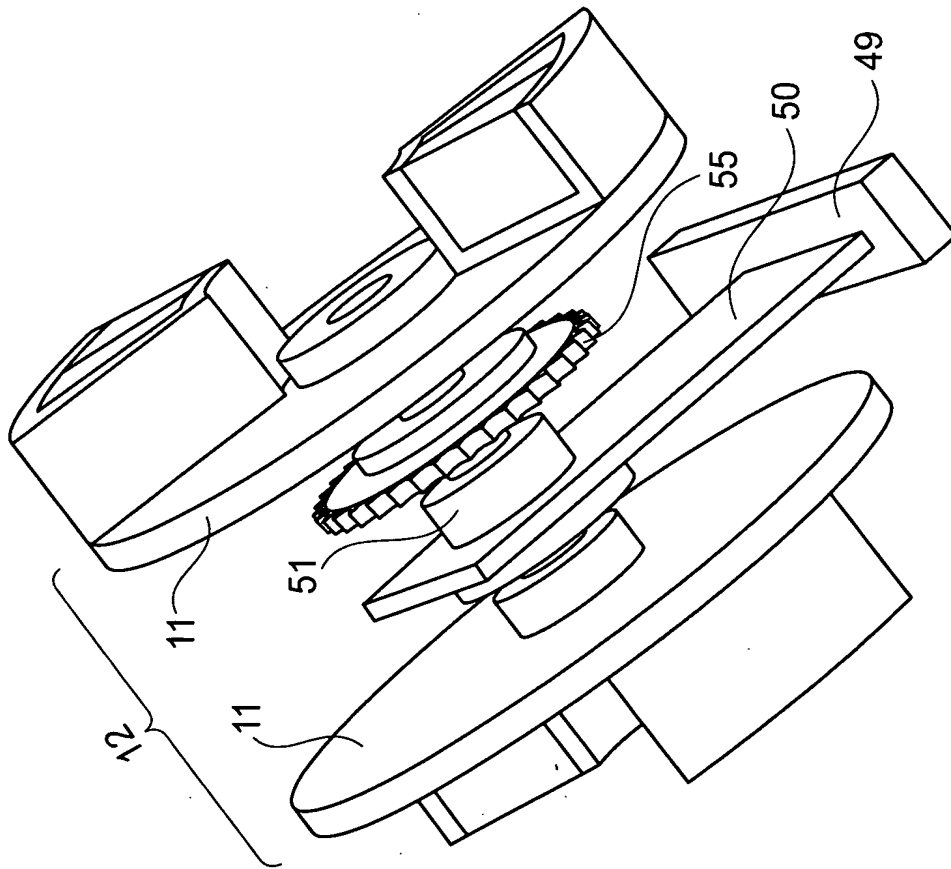


Fig. 16



17/27

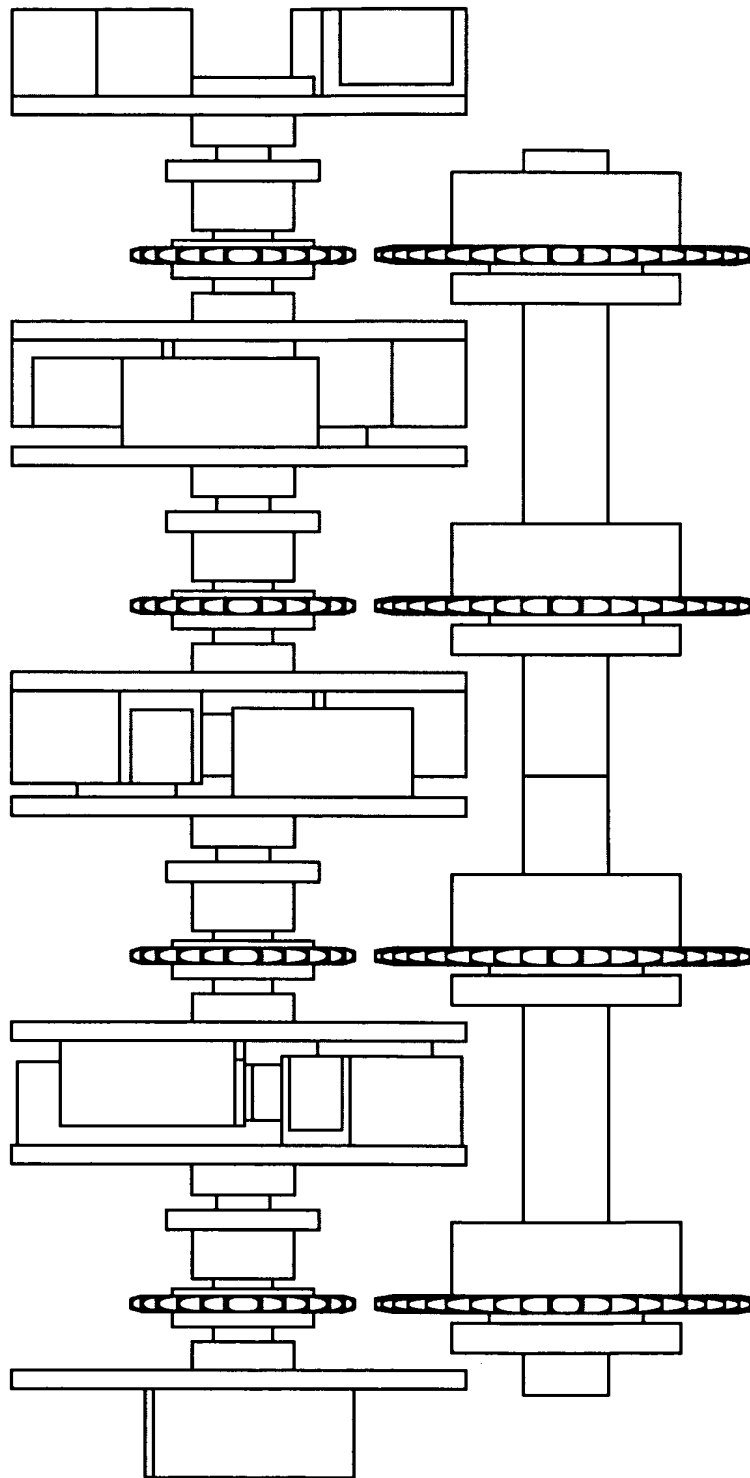


Fig. 17

18/27

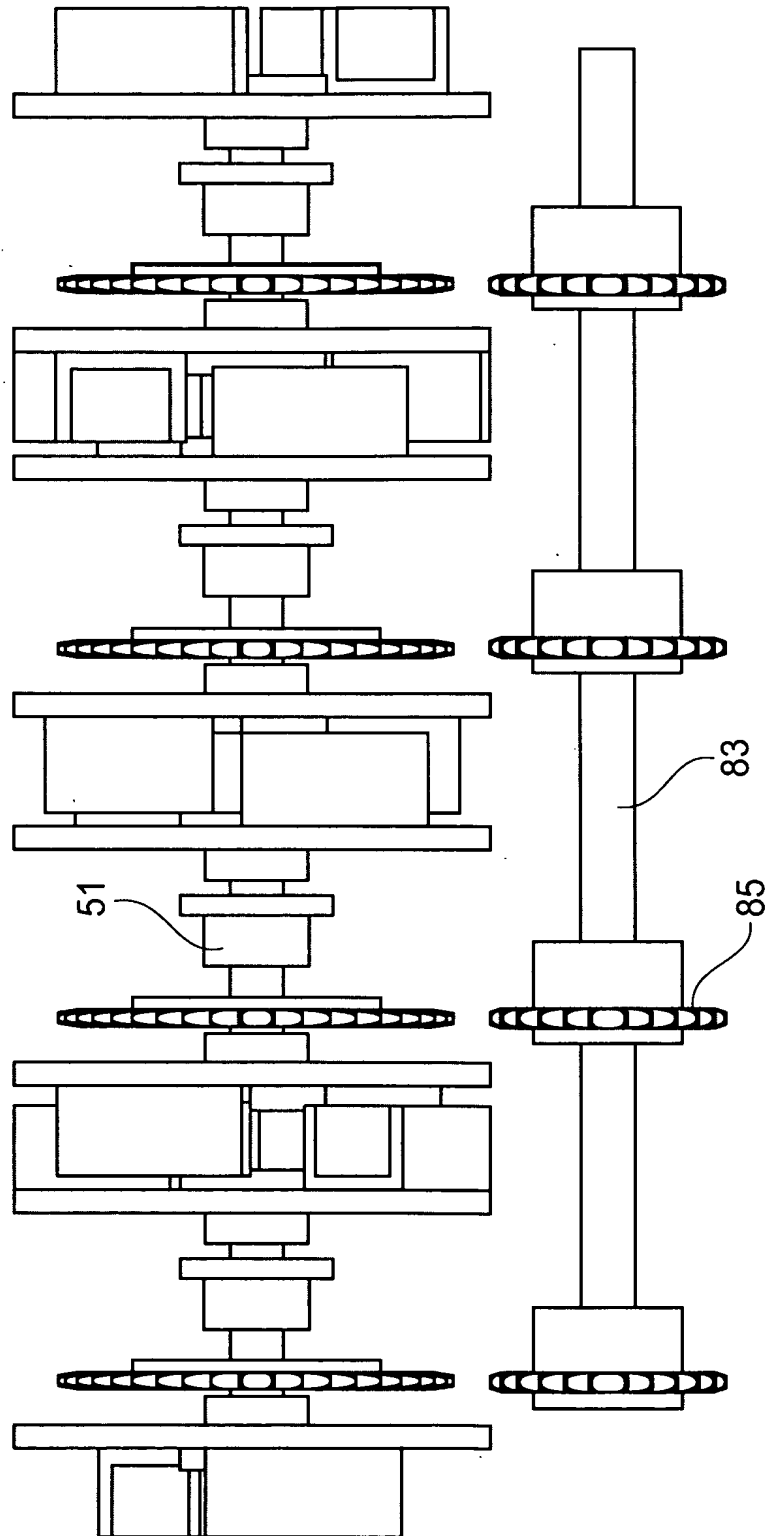


Fig. 18

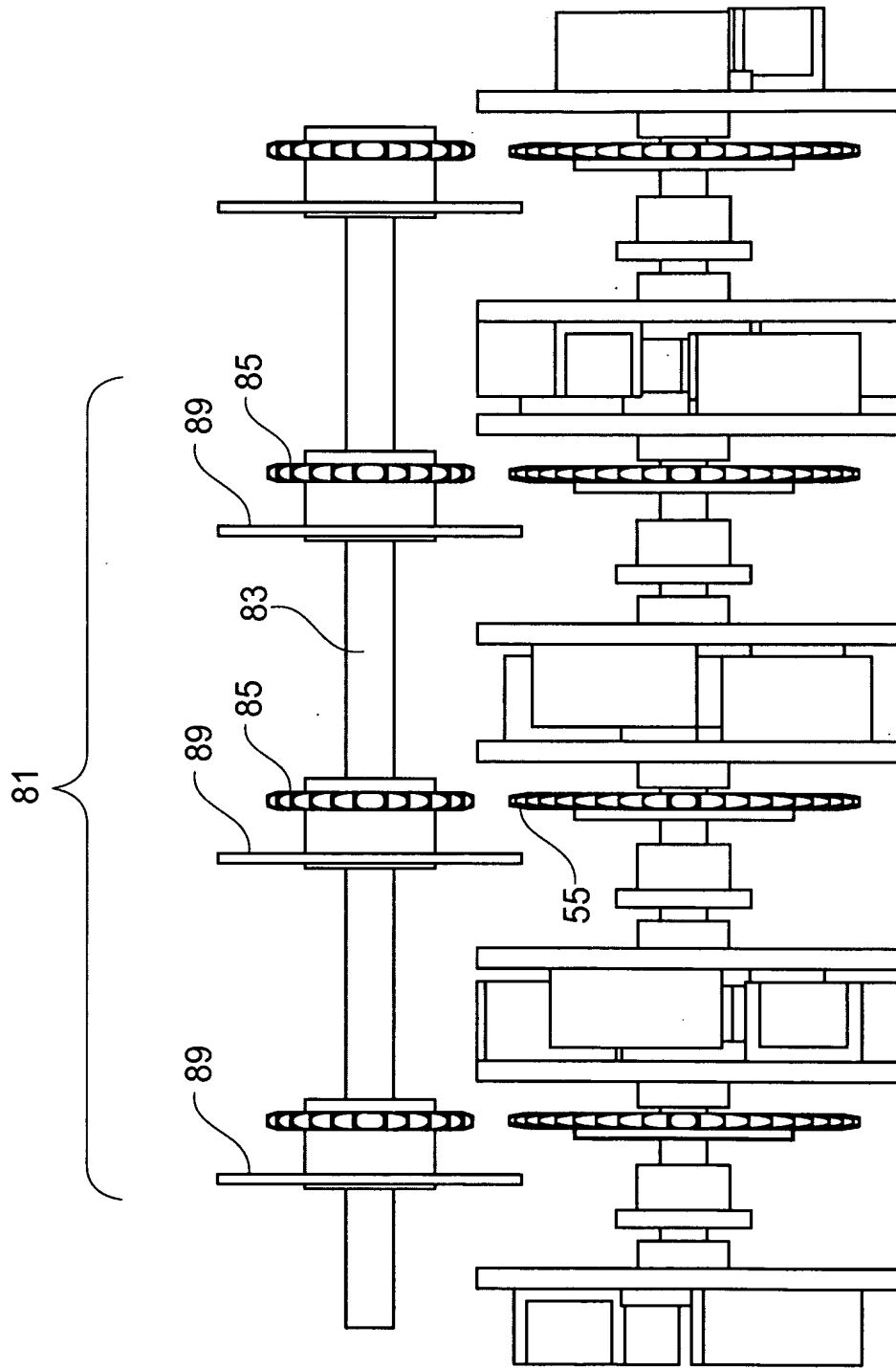


Fig. 19

20/27

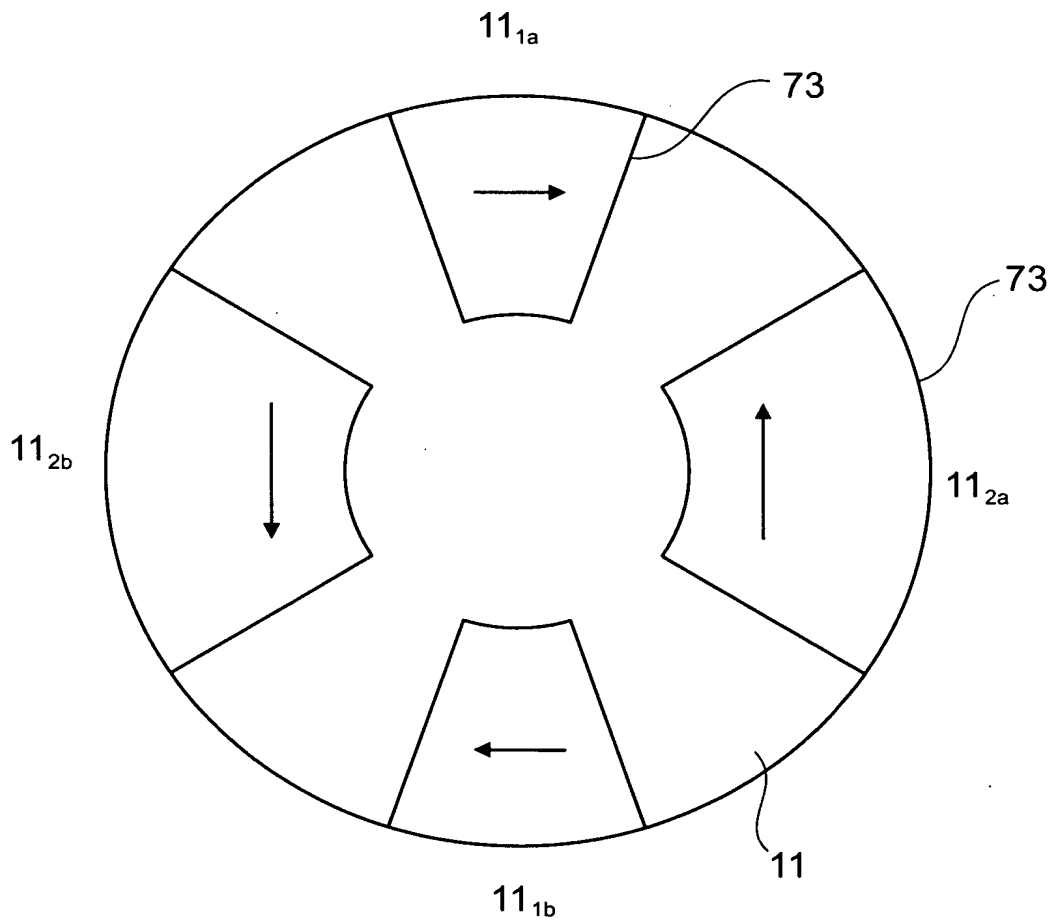


Fig. 20a

21/27

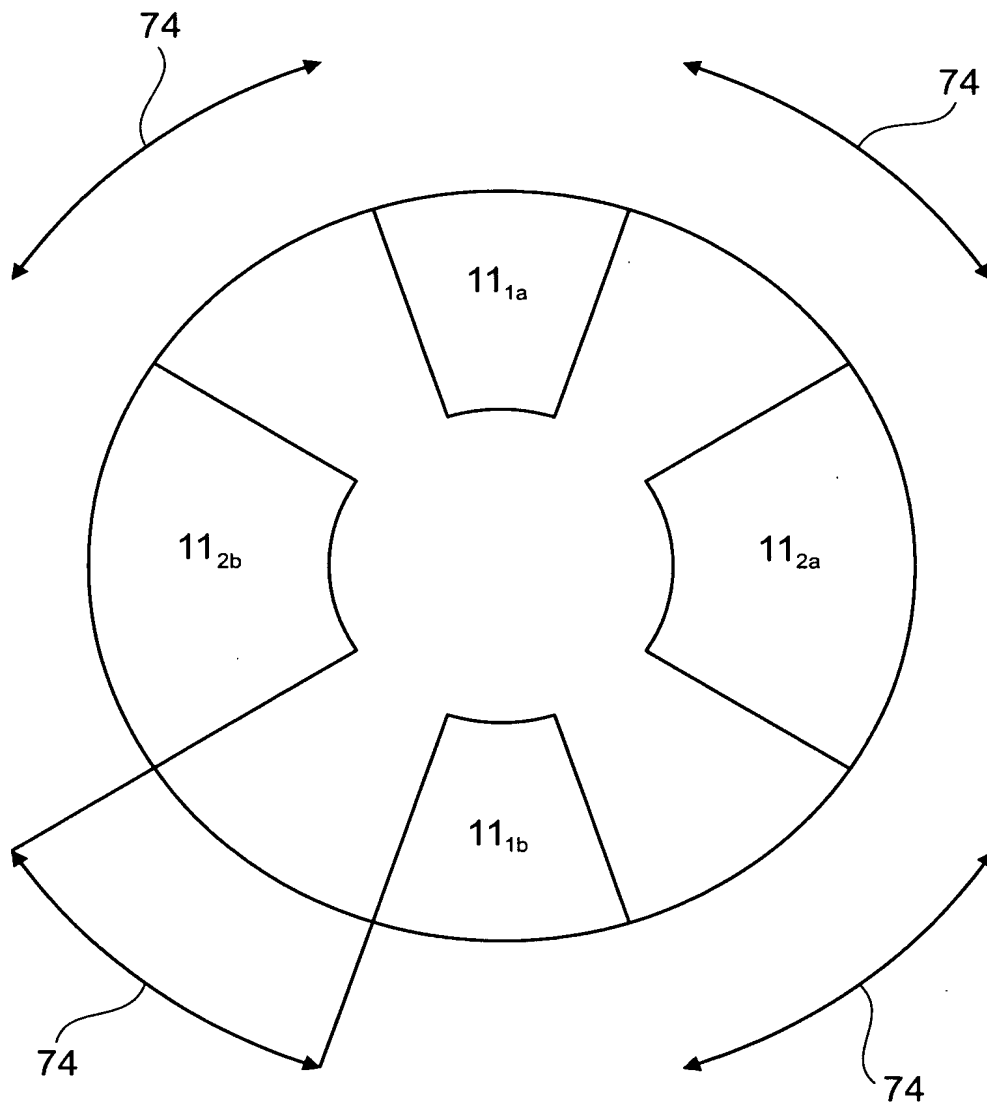


Fig. 20b

22/27

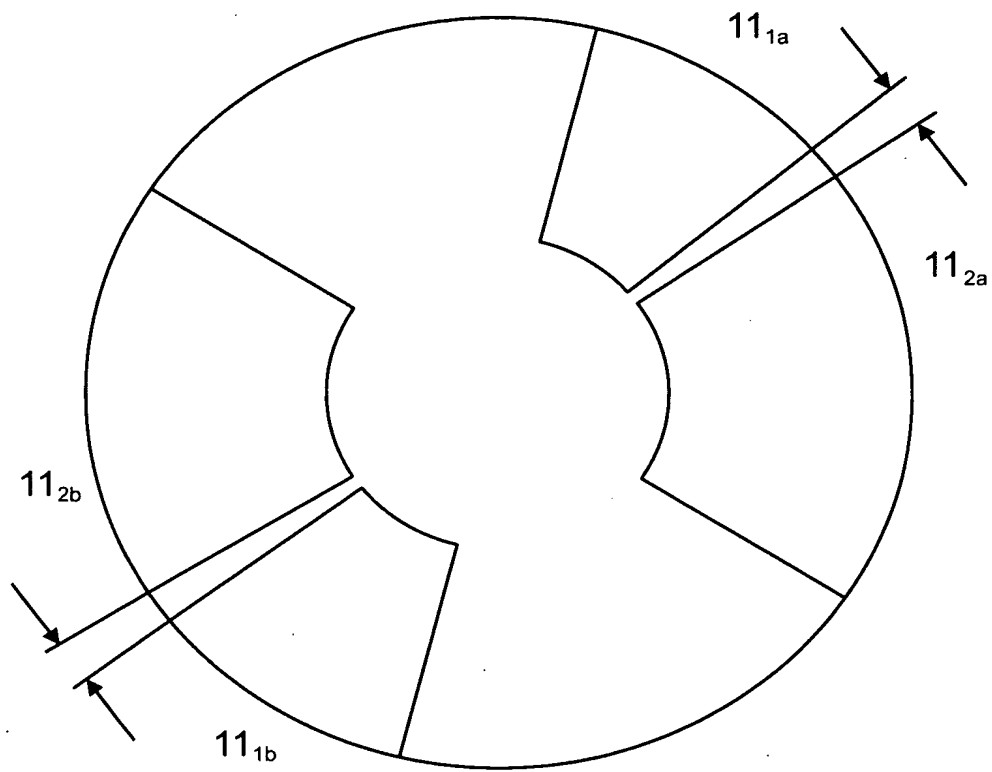


Fig. 20c

23/27

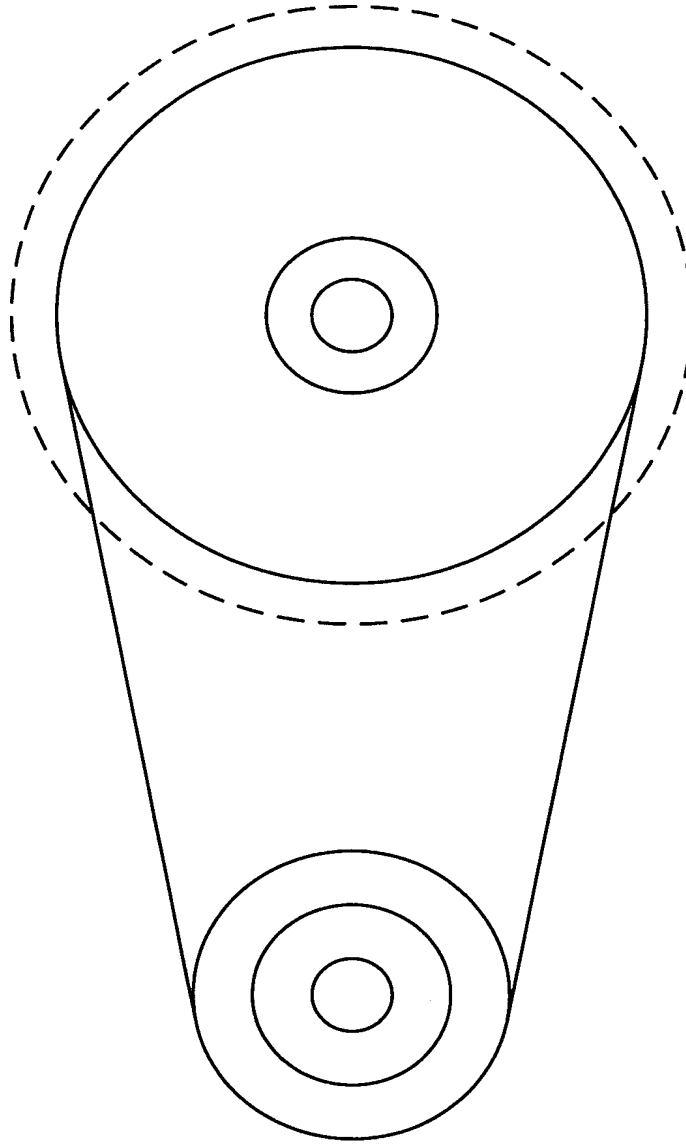


Fig. 21

24/27

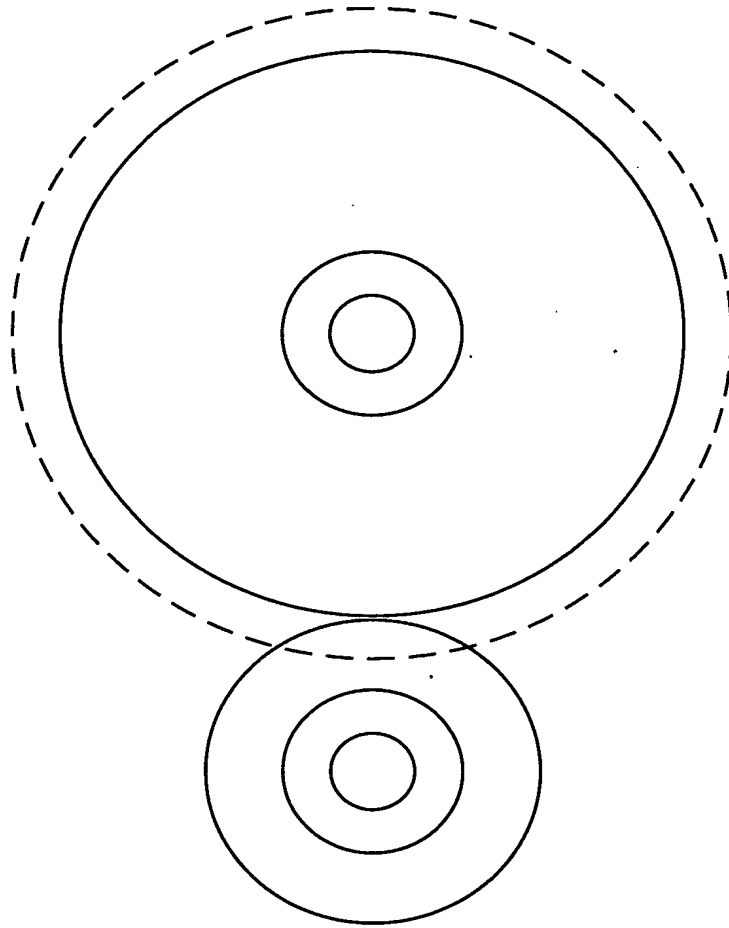


Fig. 22



25/27

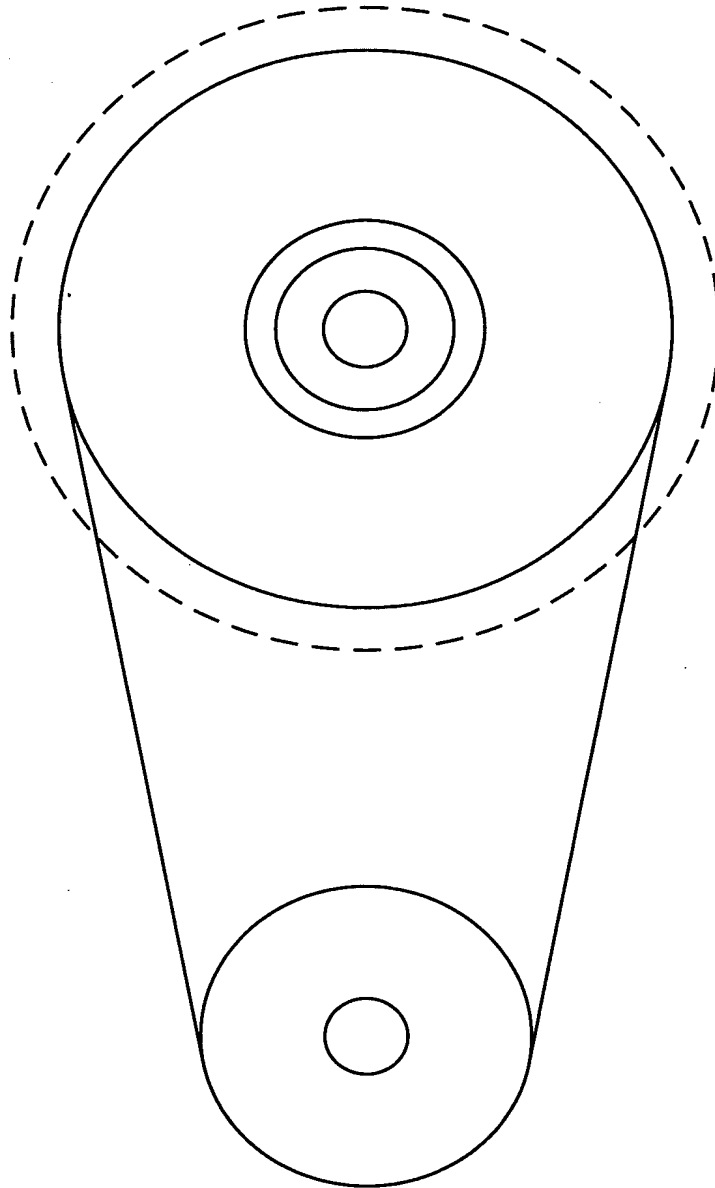


Fig. 23

26/27

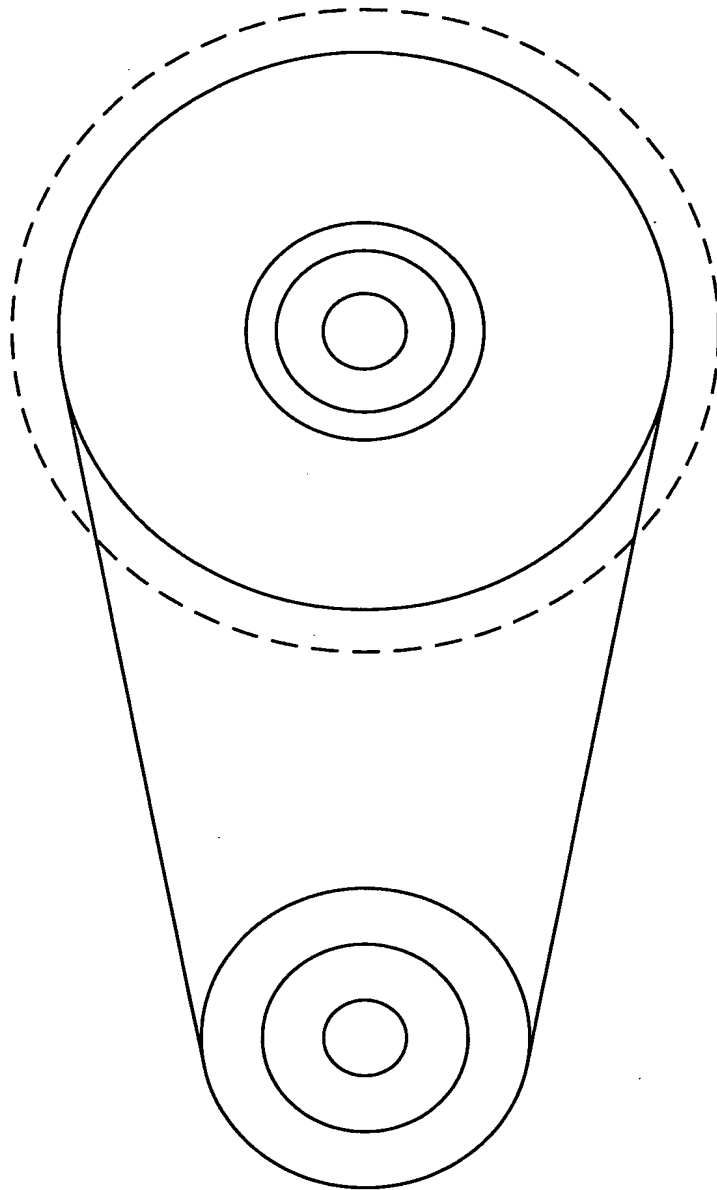


Fig. 24

27/27

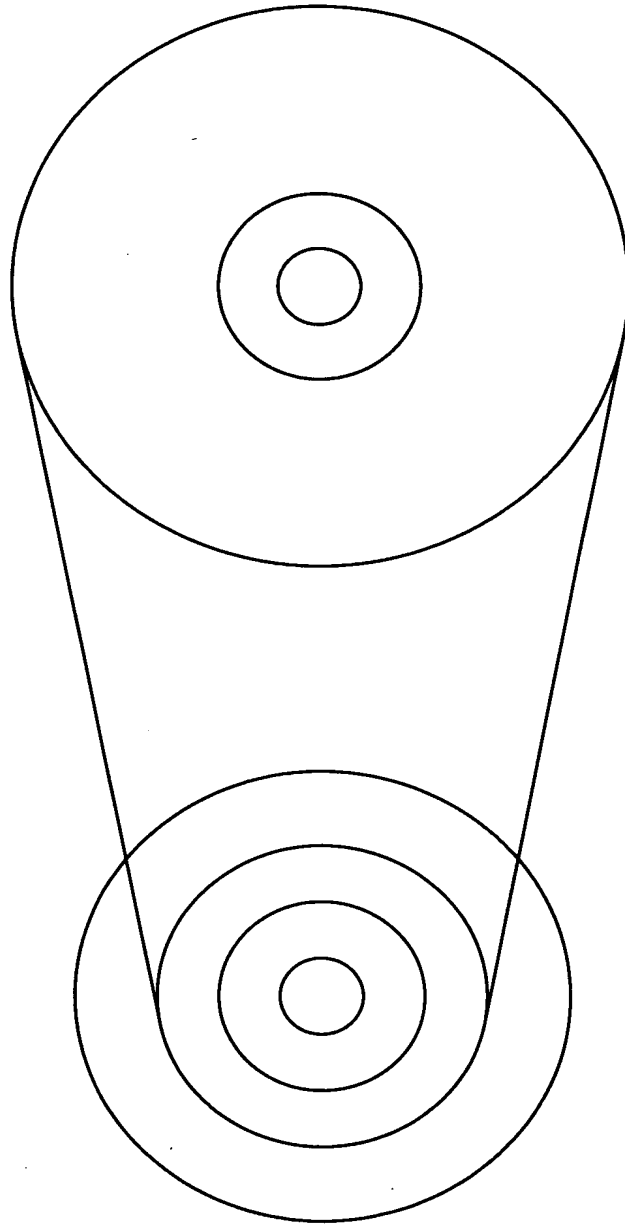


Fig. 25